

Журнал издается одновременно на русском («Известия Академии наук. Серия химическая») и английском («Russian Chemical Bulletin») языках. Подробную информацию о журнале, содержания номеров журнала в графической форме и аннотации статей, а также годовые предметные и авторские указатели можно получить в Интернете по адресу: <http://russchembull.ru>

The Journal is published in Russian and English.

The International Edition is published under the title «Russian Chemical Bulletin» by Springer:
233 Spring St. New York NY 10013 USA. Tel.: 212 460 1572. Fax: 212 647 1898.

Detailed information concerning the journal contents of issues with graphical and text abstracts as well as annual subject and author indices can be found in the Internet at <http://russchembull.ru>

Содержание

Лунин Валерий Васильевич (к восьмидесятилетию со дня рождения)

Изв. АН. Сер. хим., 2020, № 1, viii

Обзоры

Актуальные области применения атомно-абсорбционной спектрометрии с источником непрерывного спектра

В. В. Еськина, В. Б. Барановская,
Ю. А. Карпов, Д. Г. Филатова

Изв. АН. Сер. хим., 2020, № 1, 1

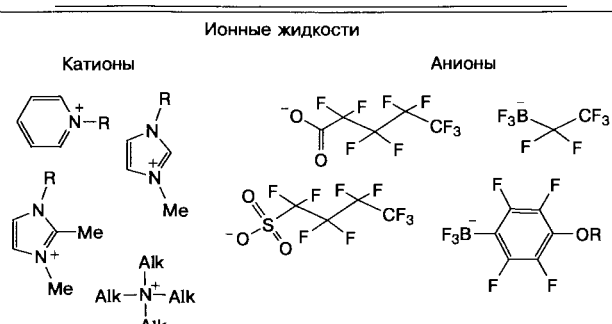
Ионные жидкости с фторсодержащими анионами как новый класс функциональных материалов: особенности синтеза, физико-химических свойств и примеры использования

С. А. Приходько, А. Ю. Шабалин,
М. М. Шмаков, В. В. Бардин,
Н. Ю. Адонин

Изв. АН. Сер. хим., 2020, № 1, 17

Распределение работ по основным областям применения метода ААС-ИНС в аналитической химии (2010—2019 гг.)

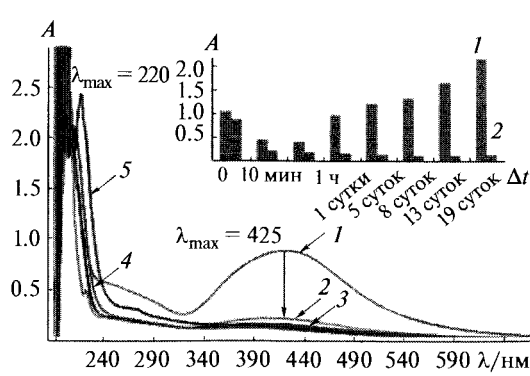
Область применения	Число публикаций (%)
Пищевая продукция	32
Биологические объекты	13
Вода	13
Пыль и почвы	12
Косметическая продукция	8
Фармацевтическая продукция	5
Нефть и нефтепродукты	5
Полимеры	5
Удобрения и растения	4
Другое	3



Полные статьи

Графеновыеnanoхлопья и гибридные нанокомпозиты с nanoчастицами золота и серебра: оптические и тепловые свойства

В. В. Высоцкий, А. С. Дмитриев,
И. А. Михайлова, К. Ф. Чернышова,
О. В. Суворова, А. А. Ревина



Изменение спектров оптического поглощения обратно-мицеллярных систем nanoчастиц Ag (AgNPs): исходный раствор (1), после адсорбции на графене в течение 10 мин (2), 1 (3), 8 (4) и 13 суток (5). На вставке — зависимость изменения оптического поглощения в результате адсорбции AgNPs от продолжительности контакта с поверхностью графена при $\lambda_{\max} \sim 220$ (1) и ~ 425 нм (2).

Изв. АН. Сер. хим., 2020, № 1, 32

Композиция соединений меди(II) с бромидом цетилtrimетиламмония — эффективная катализитическая система разложения *трем-бутил*-гидропероксида

Л. А. Смуррова, З. С. Карташева,
А. Л. Коварский

Изв. АН. Сер. хим., 2020, № 1, 43

Новые функционализированные дитопные редокс-активные лиганды гидрокси-*n*-аминохинонового типа и комплексы ртути(II) на их основе

Н. О. Дружков, И. Н. Мешерякова,
А. В. Черкасов, А. В. Пискунов

Изв. АН. Сер. хим., 2020, № 1, 49

Маршруты взаимодействия *N,N*-дизамещенных пропаргиламинов с катионными комплексами циркония

И. Р. Рамазанов, Р. Н. Кадикова,
З. Р. Сайтова, У. М. Джемилев

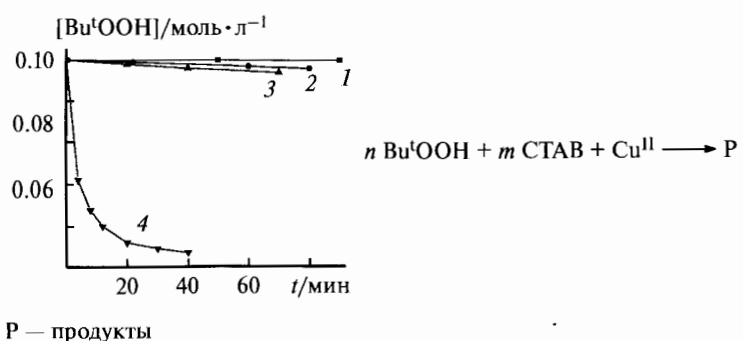
Изв. АН. Сер. хим., 2020, № 1, 61

Двухстадийный региоселективный синтез 1,2-дифторбензолов из трифтормоногалогенидов и бута-1,3-диенов

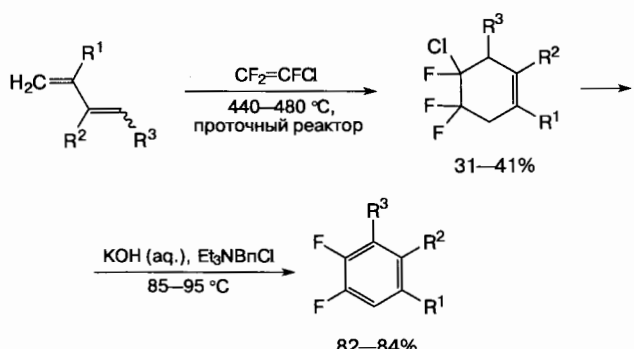
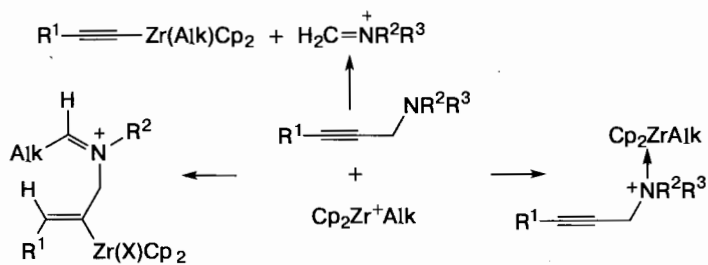
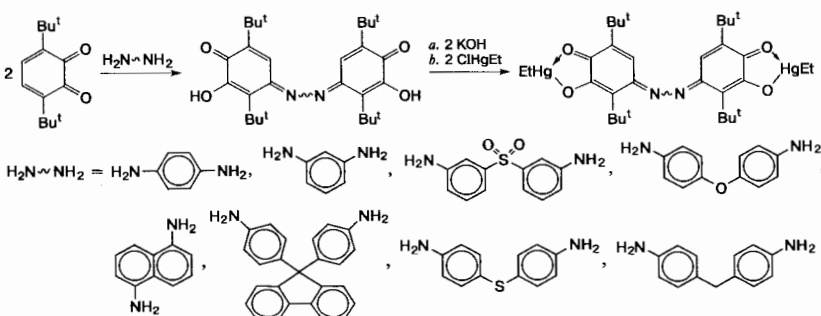
Н. В. Волчков, М. Б. Липкинд,
О. М. Нефедов

Использование формализма реакций разделения групп для анализа невалентных эффектов органических соединений: трехчленные углеродные циклы

Е. С. Ахметшина, С. Л. Хурсан

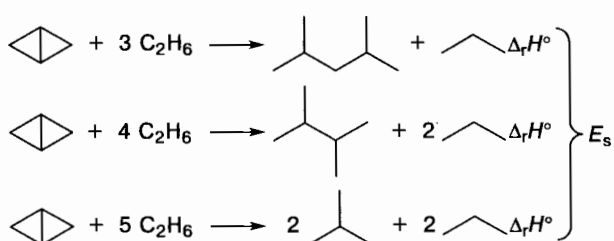


Кинетические кривые распада Bu^tOOH без добавок (1) и в присутствии бромида цетилtrimетиламмония (СТАВ) (2), $\text{Cu}(\text{acac})_2$ (3), а также смеси СТАВ— $\text{Cu}(\text{acac})_2$ или CuL_2 (4); растворитель — хлорбензол, 37 °C; $[\text{СТАВ}] = 10^{-3}$ моль·л⁻¹, $[\text{Cu}(\text{acac})_2] = 10^{-4}$ моль·л⁻¹, $[\text{CuL}_2] = 10^{-4}$ моль·л⁻¹.



$\text{R}^1 = \text{R}^2 = \text{R}^3 = \text{H}; \text{R}^1 = \text{R}^2 = \text{H}, \text{R}^3 = \text{Me};$
 $\text{R}^1 = \text{Me}, \text{R}^2 = \text{R}^3 = \text{H}; \text{R}^1 = \text{R}^3 = \text{H}, \text{R}^2 = \text{Me}$

Изв. АН. Сер. хим., 2020, № 1, 68

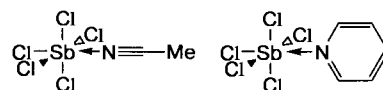


E_s — энергия напряжения цикла.

Изв. АН. Сер. хим., 2020, № 1, 76

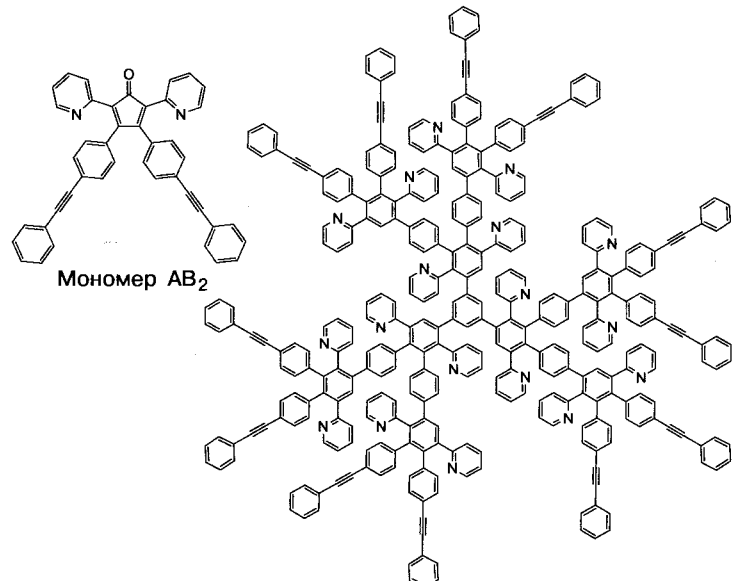
Структуры молекулярных комплексов $SbCl_5$ с пиридином и ацетонитрилом: равные длины связей, разная стабильность

Е. И. Давыдова, А. В. Вировец,
Е. В. Пересыпкина, И. В. Казаков,
А. Ю. Тимошкин



Изв. АН. Сер. хим., 2020, № 1, 84

Новый пиридинфениленовый циклопентадиенон как «строительный блок» для синтеза дендримеров



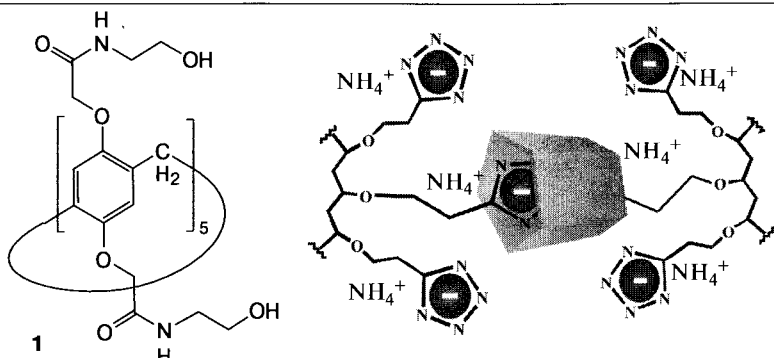
А. С. Торозова, А. А. Королькова,
И. Ю. Краснова, З. Б. Шифрина

Дендример 2-й генерации

Изв. АН. Сер. хим., 2020, № 1, 91

Незаряженные водорастворимые амидные производные пиллар[5]арена: синтез и супрамолекулярная самосборка с тетразолсодержащими полимерами

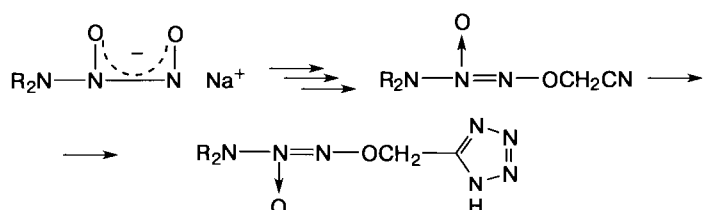
Д. Н. Шурпик, А. А. Назарова,
Л. И. Махмутова, В. Н. Кижняев,
И. И. Стойков



Предполагаемая структура комплекса включения пиллар[5]арена 1 с поливинил(тетразол-5-ил)этиловым эфиром.

Синтез 3,3-дизамещенных 1-(1*H*-тетразол-5-илметокси)триаз-1-ен-2-оксидов

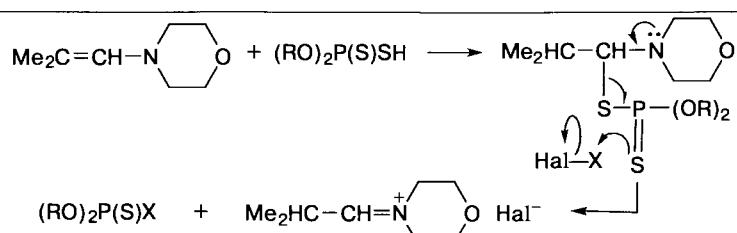
Г. А. Смирнов, П. Б. Гордеев,
О. А. Лукьянов



Изв. АН. Сер. хим., 2020, № 1, 105

Трехкомпонентные реакции енаминов, *O,O*-диалкилдитиофосфорных кислот и электрофилов

М. Б. Газизов, Р. А. Хайруллин,
Ю. С. Кириллина, С. Ю. Иванова,
К. С. Газизова, Х. Р. Хаяров

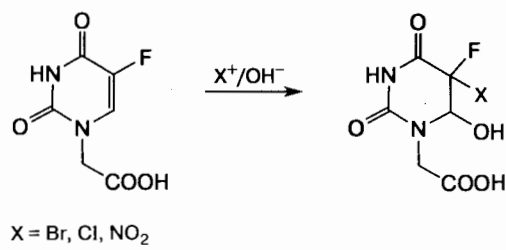


$X = SP(S)(OPr^i)_2$, $Hal = Br$, $R = Pr^i$; $X = EtCO$, $Hal = Cl$, $R = Pr^i$;
 $X = CH_2OME$, $Hal = Br$, $R = Et$

Изв. АН. Сер. хим., 2020, № 1, 110

Электрофильное присоединение по кратной связи 1-карбоксиметил-5-фторурацила

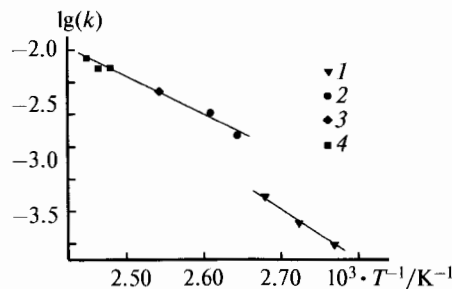
И. Б. Черникова, М. С. Юнусов,
А. Г. Мустафин



Изв. АН. Сер. хим., 2020, № 1, 114

Влияние полиморфных переходов на стабильность энергоменных соединений. Термические превращения 2,4,6-три(2,2,2-тринитроэтилнитрамино)-1,3,5-триазина

В. В. Захаров, Н. В. Чуканов,
Т. С. Ларикова, Г. В. Шилов,
А. Г. Корепин, А. Н. Пивкина,
К. А. Моногаров, Б. Л. Корсунский,
Д. В. Корчагин, С. М. Алдошин

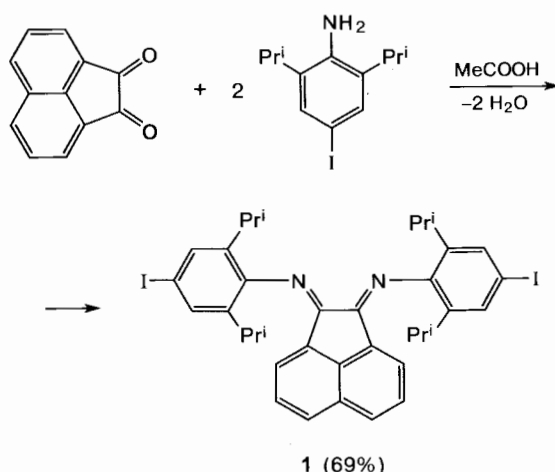


Температурная зависимость константы скорости каталитического разложения 2,4,6-три(2,2,2-тринитроэтилнитрамино)-1,3,5-триазина в аррениусовских координатах (1 — низкотемпературная α -модификация, 2 — неупорядоченная α -модификация с расторможенными фрагментарными движениями, 3 — β -модификация, 4 — расплав).

Изв. АН. Сер. хим., 2020, № 1, 114

Новые функционализированные аценафтен-1,2-димины и комплексы цинка и меди на их основе

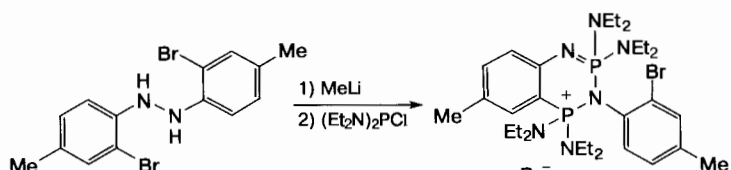
В. Г. Соколов, М. В. Москалев,
Т. С. Копцева, А. А. Скатова,
Е. В. Баранов, И. Л. Федюшкин



Изв. АН. Сер. хим., 2020, № 1, 125

Миграционное внедрение бис(диметиламино)-фосфидиой группы по связи N—N в реакции замещенного гидразобензола с $(\text{Et}_2\text{N})_2\text{PCl}$

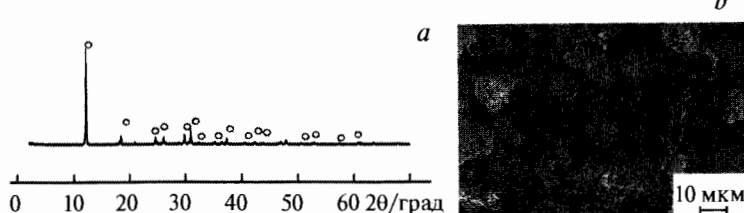
Ю. С. Панова, А. В. Шеянова,
Е. В. Баранов, А. Н. Корнев



Изв. АН. Сер. хим., 2020, № 1, 132

Синтез моногидрата двойного пирофосфата кальция/аммония $\text{Ca}(\text{NH}_4)_2\text{P}_2\text{O}_7 \cdot \text{H}_2\text{O}$ — предшественника биосовместимых фаз кальцийфосфатной керамики

Т. В. Сафонова, А. С. Киселев,
Т. Б. Шаталова, Я. Ю. Филиппов,
О. Т. Гавлина

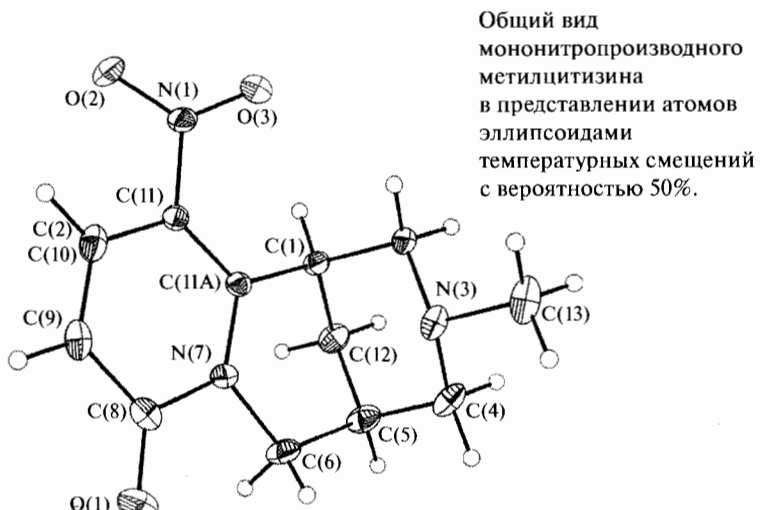


Данные РФА (a) и микрофотография синтезированного $\text{Ca}(\text{NH}_4)_2\text{P}_2\text{O}_7 \cdot \text{H}_2\text{O}$ (b).

Изв. АН. Сер. хим., 2020, № 1, 139

Особенности кристаллического строения и их взаимосвязь с квадратичной нелинейной оптической восприимчивостью нитропроизводных метилцитизина

А. Ф. Смольяков, С. В. Осинцева,
Э. А. Мамин, П. Р. Петрова,
А. В. Ковальская, И. П. Цыпышева



Изв. АН. Сер. хим., 2020, № 1, 148

Синтез нового коньюгата бетулиновой кислоты и N-ацетил-D-галактозамина для направленной доставки в клетки гепатоцеллюлярной карциномы

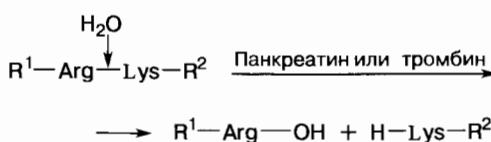
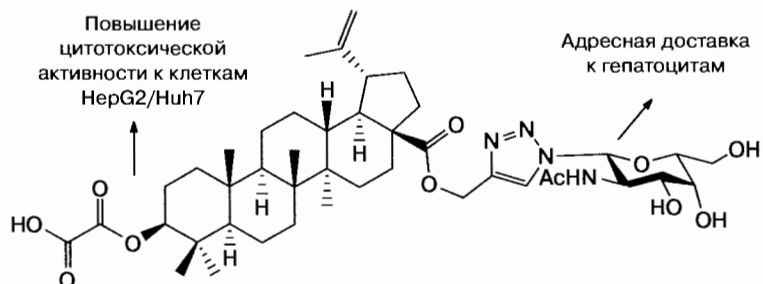
А. С. Ольшанова, Э. Ю. Ямансаров,
Е. И. Селезнев, С. В. Ковалев,
А. В. Лопухов, Д. А. Скворцов,
С. А. Евтеев, Н. Л. Клячко,
Е. К. Белоглазкина, Я. А. Иваненков,
А. Г. Мажуга

Изв. АН. Сер. хим., 2020, № 1, 158

Ферментативный гидролиз коллагена панкреатином и тромбином как этап при формировании скваффолов

Л. Л. Семенычева, М. Н. Егорихина,
В. О. Часова, Н. Б. Валетова,
М. В. Подгузкова, М. В. Астанина,
Ю. Л. Кузнецова

Изв. АН. Сер. хим., 2020, № 1, 164



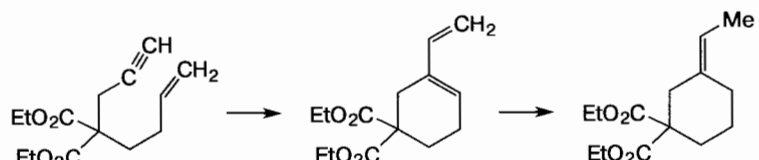
R¹ и R² — аминокислотные последовательности фрагментов коллагена.

Краткие сообщения

Внутримолекулярный алken-алкиновый метатезис и 1,4-*cis*-гидрирование как стереонаправленный путь к соединениям с экзоциклической двойной связью

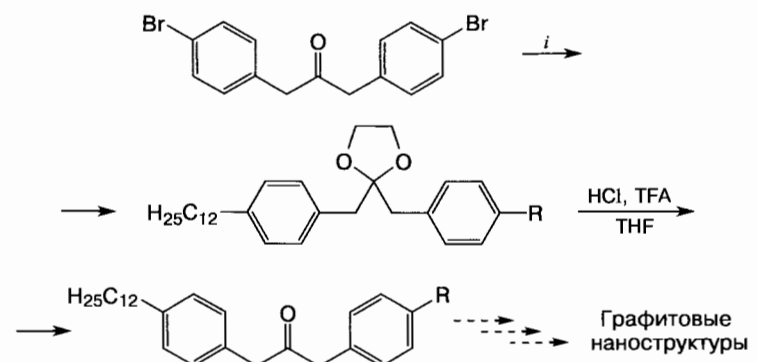
А. А. Васильев, Л. Энгман,
Э. П. Серебряков

Изв. АН. Сер. хим., 2020, № 1, 169



Метод получения алкилированных 1,3-ди-фенилпропан-2-онов — компонентов сборки графеновыхnanoструктур

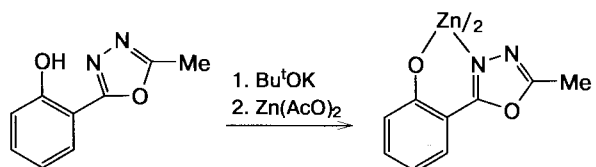
Ю. А. Тен, Н. М. Трошкова,
Е. В. Третьяков



i. 1) HO(CH₂)₂OH, пара-толуолсульфокислота, толуол; 2) C₁₂H₂₅MgBr,
Pd(dppf)Cl₂ (dppf — 1,1'-бис(дифенилфосфин)ферроцен), THF.

Изв. АН. Сер. хим., 2020, № 1, 172

Синтез и спектрально-люминесцентные свойства 2-арил-5-метил-1,3,4-оксадиазолов и комплекса 2-(2-гидроксифенил)-5-метил-1,3,4-оксадиазола с цинком(II)



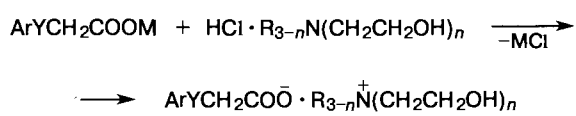
И. Е. Михайлов, Ю. М. Артюшкина,
Г. А. Душенко, В. И. Минкин

Растворитель	λ_{\max} нм	$\lambda_{\max}^{\text{fl}}$ нм	Φ
MeCN	348	413	0.40
ДМСО	359	419	0.55

Изв. АН. Сер. хим., 2020, № 1, 176

Письма редактору

Протатраны — синтетические биостимуляторы солодорашения

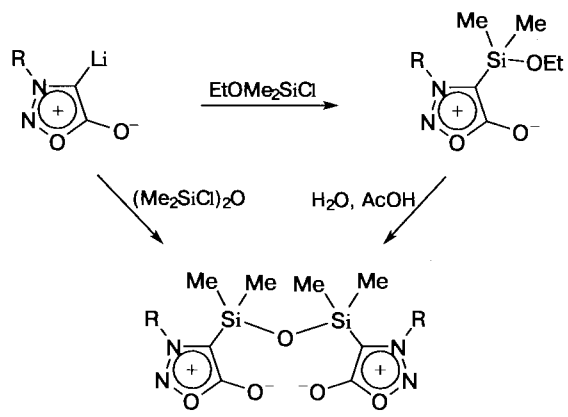


С. Н. Адамович, Е. Н. Оборина

$n = 1-3$
Ar = 4-(NO₂)C₆H₄, 4-ClC₆H₄, 4-MeC₆H₄;
Y = S, SO₂; R = H, Me, Et

Изв. АН. Сер. хим., 2020, № 1, 179

Алкохисиланы и дисилоксаны, содержащие мезоионный сиднон-4-ильный гетероциклический заместитель



И. А. Черепанов, Е. С. Транкина,
Н. Г. Фролова

Изв. АН. Сер. хим., 2020, № 1, 182

R = Me, Ph, 4-MeOC₆H₄

Научная конференция «Марковниковские чтения. Органическая химия: от Марковникова до наших дней»

Изв. АН. Сер. хим., 2020, № 1, 184

Информация

Конференции по химии, проводимые в 2020 году

Изв. АН. Сер. хим., 2020, № 1, 185

Правила для авторов

Изв. АН. Сер. хим., 2020, № 1, 189